

326422

高等學校交流講義

电航仪器

上 冊

大连海运学院 编



人民交通出版社

高等學校交流講義

電航儀器

上冊

(海洋船舶駕駛專業用)

大連海運學院編

人民交通出版社

高等學校教學用書 · 日常化學 · 一

D05/1

高等学校交流講義
電航儀器
· 上冊
大連海运學院 編

*
人民交通出版社出版

(北京安定門外和平里)

北京市書刊出版業營業許可証出字第〇〇六號

新华书店北京发行所發行 全國新华书店經售

人民交通出版社印刷厂印刷

*

1961年8月北京第一版 1962年1月北京第二次印刷

开本: 850×1168毫米 印張: 9 1/2 張 插頁5

全書: 231,000字 印數: 851—2,150冊

統一書號: 15044·5273

定价(10): 1.65元

本書系根据海运学院海洋船舶駕駛专业学生學習電航儀器的需要而編寫的。

全書共三篇，分上下二冊出版。

上冊包括第一篇回聲測深仪以及第二篇中陀螺羅經理論和其它航海陀螺仪表理論基础。

下冊包括第二篇中陀螺羅經的結構、电路和第三篇計程仪。

在下冊未出版前，为适应教學需要，可暫采用大連海运學院中專部所編的“電航儀器”（中專本）作为参考。

本書由大連海运學院船電系電航儀器教研室集体編寫。

本書作为高等学校海洋船舶駕駛专业交流講义，亦可供交通部門有关专业人員工作或學習的参考。

希望使用本書的单位或个人，多多提出改進意見，遼寄大連海运學院，以便再版时修改。

目 录

绪 論 4

第一篇 回声測深仪

第一章 声波在水中的传播	8
第一节 声波的基本概念	8
第二节 声在海水中的传播	10
第三节 声压与声阻抗率	18
第四节 声功率与声强	21
第五节 声的反射与折射	23
第六节 声的曲射和繞射	29
第七节 声的干涉	30
第八节 声的吸收	33
第九节 回声测深的原理	34
第二章 船用回声测深仪的基本工作原理与结构	36
第一节 换能器	37
第二节 推动器	60
第三节 放大器	64
第四节 显示器	72
第三章 深度的测量	81
第一节 测量的误差	81
第二节 影响测深仪工作的其他因素	84
第四章 测深仪的安装	86
第五章 国产测深仪——“755”型	89
第一节 电路分析	90
第二节 指示器的结构分析	92

第三节	使用、調整与加油.....	94
第四节	故障及其排除法.....	99

第二篇 陀螺罗經及其他航海 陀螺仪表和裝置

第六章	陀螺仪的应用理論	101
第一节	陀螺仪的定义及其特性.....	101
第二节	陀螺仪的进动运动.....	104
第三节	陀螺反力矩.....	107
第四节	运量矩定律.....	111
第五节	陀螺仪运动方程式.....	113
第六节	陀螺仪运动的技术方程式.....	118
第七节	应用动静力学方法列出陀螺仪 运动的技术方程式.....	121
第八节	瞬时打击对陀螺仪的影响.....	123
第九节	陀螺仪在外加常值力矩作用下的运动情况.....	127
第七章	自由陀螺仪的視运动	132
第一节	地球的自轉角速度及其分量.....	132
第二节	自由陀螺仪的視运动.....	136
第八章	安放在相对于地球靜止基座上的陀螺罗經	140
第一节	使自由陀螺仪成为陀螺罗經的两种方法.....	140
第二节	摆式罗經的等幅摆动.....	147
第三节	水銀器罗經的等幅摆动.....	156
第四节	陀螺球的运动方程式.....	158
第五节	陀螺球繞主軸 OX 以及球內陀螺仪 繞其垂直軸的运动.....	166
第六节	水銀器罗經的減幅摆动.....	169
第七节	水銀器罗經在方位上的減幅摆动螺線.....	182
第八节	具有液体阻尼装置的陀螺球的減幅摆动.....	189
第九节	液体阻尼器罗經減幅摆动的物理实质.....	196

第九章	运动基座上的陀螺罗經	199
第一节	船舶常航向等速运动对陀螺罗經 平衡位置的影响	199
第二节	船舶常航向等加速运动对陀螺罗經的影响	210
第三节	非周期过渡条件的数学証明	215
第四节	第一类冲击誤差	220
第五节	第二类冲击誤差	229
第六节	轉子轉速不稳定时对陀螺罗經的影响	249
第十章	船舶搖擺对陀螺罗經的影响	251
第一节	船舶搖擺对单轉子摆式罗經的影响	251
第二节	水銀器罗經中消減搖擺誤差的方法	258
第三节	双轉子罗經中消減搖擺誤差的方法	268
第十一章	其他航海用陀螺仪表	273
第一节	方向陀螺仪的基本原理	273
第二节	陀螺磁罗經	277
第三节	陀螺垂直仪	283
附图		
附图 I	HЭЛ-5型测深仪原理图	
附图 II	MS-26型测深仪电路原理图	
附图 III	MS-24型测深仪电路原理图	
附图 IV	五四型测深仪线路图	

緒論

現代船舶上安裝有各種不同類型的導航儀表，它們基本上可以分為兩大類：無線電導航儀器和電航儀器。習慣上電航儀器是指：陀螺羅經、回聲測深儀、轉輪式及水壓式計程儀，以及把陀螺羅經和計程儀聯合起來能在海圖上描繪航跡的航跡記錄器、能使船舶穩定在某一規定航向上的自動操舵裝置等。以上各種儀器和裝置所用的能源都是電，因而統稱之謂電航儀器，但它們的基本工作原理並不建築在電工理論之上，關於這一點不應有所誤解。由於電航儀器的理論基礎以及結構和電路都是相當複雜的，因而使用這些儀器必須具備專門知識，本書的編寫也就在于結合海運學院船舶駕駛專業學生的需要，對電航儀器的理論基礎、結構電路以及它們的維修使用作一定深度的介紹。

根據電航儀器的工作原理來劃分它們，基本上可以分為下列三種類型：

1. 陀螺儀表及裝置——包括陀螺羅經、以陀螺羅經作為敏感元件的自動操舵裝置，以及其他航海用的陀螺儀表，如方向陀螺儀、陀螺地平儀、陀螺磁羅經等。
2. 水聲儀器——回聲測深儀。
3. 水力儀器——轉輪式計程儀、水壓式計程儀。

在商船上應用最廣的陀螺儀表是陀螺羅經，因而在本書中對陀螺羅經的理論結構和電路作了相當篇幅的敘述，而對其他陀螺儀表僅僅在工作原理上作了一般介紹。陀螺羅經是利用繞定點高速旋轉對稱剛體的特殊慣性所製成的一種機械羅經。由於它不依賴地磁場進行定向，因而磁干擾對上述羅經不發生任何影響，所以陀螺羅經能在鋼質船舶上高度準確地工作，與磁羅經相較這是它的巨大優越之處。對在浩無涯際的海洋上航行的船舶來講，获

取精确的航向讀数具有极为重大的意义，因而性能良好的陀螺罗經得到了普遍采用，并被公認為重要的航海利器之一。陀螺罗經的工作原理是建筑在刚体动力学之上，十八世紀最卓越的数学家和物理学家之一欧拉于1758年发表了“刚体繞定点运动理論”的著名著作，为刚体动力学奠定了基础。欧拉导出了刚体繞定点运动的动力学方程式，并在外力矩为零时求出了这些方程的积分。刚体繞定点运动的第二种情况（具有动对称在重力作用下的刚体繞定点运动）是由十九世紀著名的法国数学家拉格朗日所解出。1888年俄罗斯女数学家 C.B. 柯凡律夫斯卡娅对刚体繞定点运动的第三种情况求得了积分（以定点作参考的慣性椭球体仍为旋转对称体，并且 $A=B=2C$ 重心在赤道平面内），其后著名的苏联学者B.A. 司即克洛夫，C.A. 查浦雷金等人对刚体繞定点运动也进行了有成果的研究。十九世紀中叶，鋼質船舶开始問世，航海事业得到了飞跃发展，促使人們对新型导航仪器的制造进行探索。历史上第一个提出利用繞定点高速旋转的对称刚体——陀螺仪作为导航仪表的是著名法国物理学家富科。1852年富科在巴黎科学院里作了四个报告，其中包括以下三个主要內容：

1. 利用三自由度陀螺仪的慣性以觀測地球的自轉。
2. 二自由度的陀螺仪主軸限制在水平面內时其平衡位置为地理子午綫方向。
3. 二自由度的陀螺仪主軸限制在子午面內时其平衡位置与地球自轉軸相平行。

富科的三个富有創見的思想，基本上概括了陀螺仪的各种用途。把陀螺仪的特殊慣性和地球自轉联系起来能够得到指示地理子午綫的仪器，这就是陀螺罗經的工作依据。目前各种不同結構的陀螺罗經都是以富科这一卓越思想为基础发展起来的。半世紀来，随着航海航空和火箭技术的发展，陀螺技术也得到了长足进展。但是必須指出，陀螺技术的巨大进步是和理論研究上所取得的卓越成果分不开的。著名的苏联学者A.H. 克雷洛夫、B.B. 布尔嘎科夫、B.I. 顧得連維奇、A.IO. 依斯林斯基等人的劳动，丰

富了陀螺仪应用理論，并对陀螺技术的发展起了积极作用。

水声仪器是电航仪器中第二个重要組成部分，它的主要用途是測量海水深度，发现水中障碍物，以保障航行安全。对商船駕駛員來講，回声測深仪是水声仪器中最常用最重要的一种，因而本書对回声測深仪的原理結構电路作了比較詳細的介紹。回声測深仪的工作基础是建筑在声波在水中传播的規律之上。声波在水中传播速度几乎是一个常数，差不多等于1450米/秒。由于声速是一个常数，因此測量声波自船底至海底再自海底反射回来的时间，即可計算得海水的深度。因此，回声測深仪是由装在船底的超声波发射器、接收器和附属装置所組成，它与一般机械測深仪相較具有以下的特点。一般机械測深仪由繩索和重錘組成，測量时必須将重錘抛出船外，为了得到海水的垂直深度必須将船速降低至8节以下，有时甚至要将船速降为零后方可进行，回声測深仪利用声波进行測量，而声波在水中的传播速度远大于現代船舶的航行速度，因而不管在船舶全速行驶或停止前进时均可测得准确的海水深度。利用机械測深仪測量水深时費时甚多，例如測量水深为5000米时，在船舶停止行驶下需3小时，但用回声測深仪仅需6.5秒。回声測深仪还有一个显著优点是它能連續不断地測定水深，在航速为20节的船舶上測量5000米左右的水深，二次測量的距离間隔仅为10米左右，因而它在船位的确定上起着重要作用。由于回声測深仪具有上述卓越性能，它已成为船舶駕駛上的重要利器，而且得到普遍应用。在回声測深仪的产生和发展过程中，應該提到苏联学者的貢献。早在1804年俄罗斯学者Я.Д.薩哈洛夫第一次利用声波传播測量气球高度。回声測深仪实际上也是薩哈洛夫这一思想的繼續发展。在声学和水声学理論方面苏联学者С.Я.索科洛夫、В.Н.久林等人也有很多貢献。

电航仪器的第三个組成部分是計程仪。精确地测定船舶相对于地球的航程，在船舶駕駛上极为重要，因为有了准确的航向和航程，就可以利用积算法求取船舶的地理位置。直接测定运动物体的地速和相对于地球的航程的仪器，称之謂絕對計程仪。絕對計

程仪的設計和制造是长期中悬而未决的问题。但在近年来科学技术的巨大进步面前已經获得了解决。目前电航仪器中所指的計程仪是相对計程仪，它是測定船舶相对于介質——水的运动速度和航程的仪器。为了要得到地速和相对于地球的航程，必須在上述仪器的讀数中对介質的牵連运动加以估計。目前船舶上常用的相对計程仪有以下二种类型。一、轉輪式計程仪；二、水压式計程仪。本書对以上二种类型的計程仪的工作原理、构造和电路作了介紹。轉輪式計程仪是根据螺旋桨在水流中繞軸旋轉的原理制成。当船舶相对于海水运动时，水流使螺旋桨旋轉，测定螺旋桨的轉数即得船舶相对于介質的航程。在以上仪器中，测定船速需要輔助装置。水压式計程仪是測量船舶相对于介質运动时水流的动压以确定船速。在上一类仪器中，测定航程时需加輔助装置。

根据以上对各种仪器的簡單介紹中可以看出电航仪器在船舶导航上的重要意义。但在半封建半殖民地的旧中国，航海仪器的制造工业处于极端落后状态，船舶上所用的电航仪器均由国外进口，因而品类庞杂且大都型号陈旧，性能不良。解放后，在党的英明領導下通过工人及科技人員的努力，电航仪器工业取得了长足进展，若干类型的国产仪器已經开始在船舶上得到大量应用。

可以深信在不久的将来我們完全可以用性能优良的国产电航仪器来装备我国的船舶以适应海运事业飞跃发展的需要。

第一篇 同声測深仪

第一章 声波在水中的传播

第一节 声波的基本概念

当弹性介质的质点由于某种原因发生振动时，这种振动便以波的形式向周围传播。这种质点的振动就称为声。

弹性介质质点之所以发生振动，往往是由于某一物体或某一组物体被迫作某种形式的运动，因而使其周围介质的平衡状态遭受破坏。这种运动的物体就称为声源。

根据声源的特性和介质的性质，空间中形成各种波形的声波，近代声学所研究的波形多为球面波、平面波和柱面波。

如振动的来源是一个脉动的球，则在无限的均匀介质中将形成球面波。

如振动的来源是一个无限的平面，则在无限均匀介质中将形成平面波。

如振动的来源是个表面作径向振动的无限长圆柱，则在无限的均匀介质中将形成柱面波。

在一片无限广阔的均匀介质中，其各质点间由于弹性力的联系，将保持其平衡状态。我们选择任一方向 x ，沿此方向有距离相等的各质点 a 、 b 、 c 、 d ，……如图 1-1 所示。

设在水介质中于某一瞬间，某一声源沿着 x 方向振动，质点 a 由于是沿 x 方向移动，然后又返回原处。当质点 a 移动时，其与质点 b 之间的距离缩小，因而产生一种弹性力，使质点 b 亦向右移动，直至 a 与 b 两质点间仍恢复到平衡状态的距离为止。然

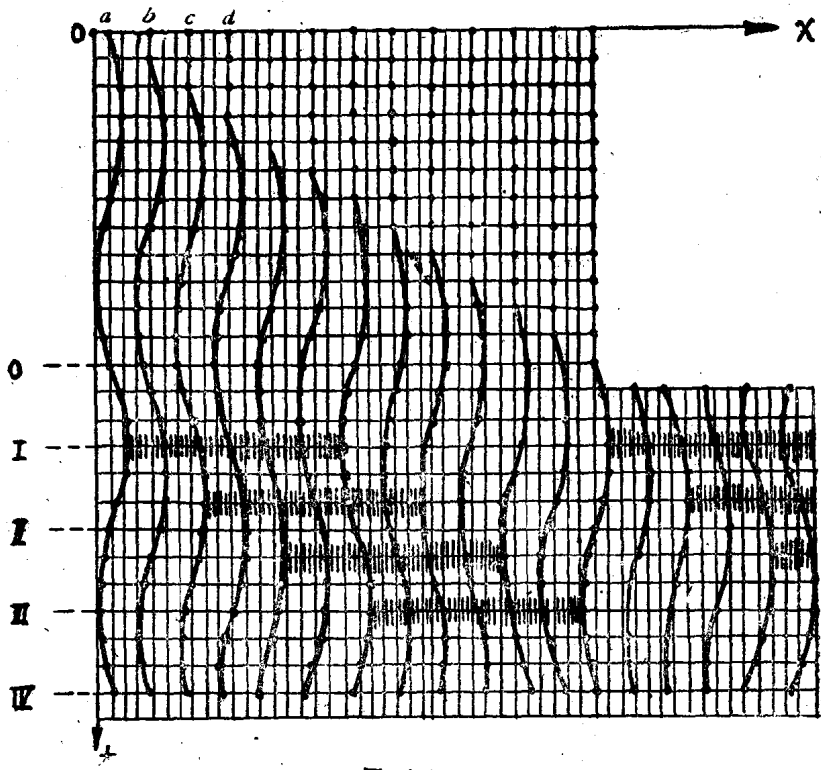


图 1-1

而因为各質點都具有質量，運動時便具有慣性，故質點 b 移動必遲于 a 点。以此類推，其它各點亦將作類似的運動。當質點 a 移到極右位置時，便開始向左運動。但質點 b 將繼續向右運動，當它達到極右位置時亦開始向左運動。所有後繼的質點都將完成同樣的運動。總之，所有質點都將作與 a 点同樣的振動，但並非是同時的，而是一個比一個落後。也就是說，在單位時間內該聲源若作一全振動，當聲源向右移動時，右邊的水介質質點形成一壓縮區，這一壓縮區向右傳播。當聲源向左移動時，右邊的水介質質點形成一稀疏區，將以同樣的速度向右傳播，這樣，水介質的一稀一密就相當於聲源的一個振動周期。這種壓縮與稀疏的狀態以一定的速度從一層傳到另一層的傳播過程稱為聲波。

兩個完成同一振動的質點間的距離稱為波長，以 λ 表示。而

質點完成一個振動所需要的时间稱為周期，以 T 表示。則聲波的傳播速度 C 為

$$C = \frac{\lambda}{T} \quad (1-1)$$

第二节 声在海水中的传播

一、声的傳播方程式

在本節中我們將推導出若干方程式，以求聲的波动方程式，這些方程式有如下各種：

(一)連續性方程式 介質的任何變化都不能招致物質的產生與消滅，連續性方程便是這一定律的數學式子。例如涌進某一區域與流出某一區域的流體，當其數量引起差別時，這一區域中流體的密度就要引起相應的改變。

為了用數學式子並簡單來表达此一定律，我們提出具有一單元面積為 A 的直柱體積的流體，為簡單起見，我們假設直柱體的稜與座標軸平行，如圖1-2所示： H 點的座標為 $x y z$ ，垂直於面積 A 方向的稜長為 l_x ，而液体的速度分量為 u_x 。在單位時間內流進面積 A 的液体的質量顯然等於面積 A ，密度 ρ 及速度 u_x 的乘積，即等於 $\rho A u_x$ ，而在單位時間內從 B 面積流出的液体質量為

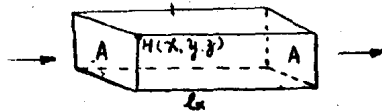


图 1-2

$$\left[\rho u_x + \frac{\partial}{\partial x} (\rho u_x) l_x \right] A$$

這時，由於流體的進出使直柱體內的質量增加為

$$-\frac{\partial}{\partial x} (\rho u_x) l_x A$$

由於在直柱體內質量既不能產生，又不能消滅，所以體內質量的增加的速度應相等於該體內流體平均密度的變化速度，即

$$\frac{\partial}{\partial t}(\rho l_x A) = - \frac{\partial}{\partial x}(\rho u_x) l_x A \quad (1-2)$$

消去恒值因数 $l_x A$ 后，我們得到了所需要的連續方程式

$$\frac{\partial \rho}{\partial t} = - \frac{\partial (\rho u_x)}{\partial x} \quad (1-3)$$

如假設流体的位移和密度的变化都很小，二次項与高次項可略去不計，則本方程即可簡化。这时密度的瞬時值 ρ 与液体的靜态密度 ρ_0 相差很少，則压缩率 B 值必极小。压缩率 B 值为

$$B = \frac{\rho - \rho_0}{\rho_0}$$

略去高次項則

$$\frac{\partial (\rho u_x)}{\partial x} = \frac{\partial}{\partial x}(\rho_0 u_x) = \rho_0 \frac{\partial u_x}{\partial x} \quad (1-4)$$

因此我們得到下列已簡化的連續方程式

$$\frac{\partial B}{\partial t} = - \frac{\partial u_x}{\partial x} \quad (1-5)$$

(二)运动方程式 根据牛頓第二定律：沿某一方向施于質点的力系等于質量与其在同一方向內所得到的加速度的乘积。

假如流体速度的分布为座标与时间的函数

$$u_x = u_x(x, t)$$

則液体加速度的分布便为

$$a_x = a_x(x, t)$$

若略去二级微量，则在 x 軸上，加速度分量可近似地表示为

$$a_x = \frac{\partial u_x}{\partial t}$$

則施于密积单元上的分力为

$$f_x = \rho \frac{\partial u_x}{\partial t} \quad (1-6)$$

(三)理想流体中力的方程式 若施于流体的力仅为压缩力或扩张力，也就是说，若液体不产生剪应力，则此流体称为理想流体。

如图 1-3 所示是一直柱体的流体单元，假设在左面上的压力等于 P ，则右面上的压力显然

等于 $P + \frac{\partial P}{\partial x} l_x$ 。由于是理

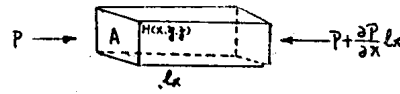


图 1-3

想流体，所以两力互相平行，

因此作用于流体单元上的总力为

$$f_x = - \frac{\partial P}{\partial x}$$

所以

$$\frac{\partial P}{\partial x} = - \rho \frac{\partial u_x}{\partial t} \quad (1-7)$$

(四)物态方程式 液体的物态方程式表示了流体中的压力与密度和温度的关系

$$P = P(\rho, T)$$

为了求出密度与压力间的关系，我们假设声波能使流体从它的静止状态微小的变化，压力的变化与密度的相对变化成比例，又假设声波所引起的各种变化极为迅速，因而热的交换现象基本不存在，则

$$P = \eta E \quad (1-8)$$

η 称为容积的弹性系数，为了简化，假设 η 为一常数，下面我们将利用上述的关系式，导出一个描述声传播的基本方程式。

依(1-8)式得

$$\frac{\partial P}{\partial x} = \eta \frac{\partial E}{\partial x}$$

将上式代入运动方程式(1-6)可得

$$\rho \frac{\partial u_x}{\partial t} = -\eta \frac{\partial B}{\partial x} \quad (1-9)$$

假設密度变化与速度变化相当微小， $\rho \frac{\partial u_x}{\partial t}$ 可視為与 ρ_0

$\frac{\partial u_x}{\partial t}$ 相等，則方程式将具有如下形式

$$\rho_0 \frac{\partial u_x}{\partial t} + \eta \frac{\partial B}{\partial x} = 0 \quad (1-10)$$

将上式对 x 微分得

$$\rho_0 \frac{\partial^2 u_x}{\partial t \partial x} + \eta \frac{\partial^2 B}{\partial x^2} = 0$$

依連續方程式則上式为如下形式

$$\rho_0 \frac{\partial^2 B}{\partial t^2} = \eta \frac{\partial^2 B}{\partial x^2}$$

所以

$$\frac{\partial^2 P}{\partial t^2} = \frac{\eta}{\rho_0} \frac{\partial^2 P}{\partial x^2} \quad (1-11)$$

設声速 $C = \sqrt{\frac{\eta}{\rho_0}}$ ，則波动方程式具有如下的形式

$$\frac{\partial^2 P}{\partial t^2} = C^2 \frac{\partial^2 P}{\partial x^2} \quad (1-12)$$

我們知道，若 P 为自变数 $(t - \frac{x}{c})$ 或 $(t + \frac{x}{c})$ 的任意函数，或为此两函数之和，則 P 滿足方程式 (1-12)。这一点很容易証明。假設 $P = f(t - \frac{x}{c})$ ，則

$$\frac{\partial^2 P}{\partial t^2} = f''(t - \frac{x}{c}) \quad \frac{\partial^2 P}{\partial x^2} = \frac{1}{c^2} f''(t - \frac{x}{c})$$